

大阪工業大学 正員 岡村宏一
東洋技研コンサルタント 正員 ○島田 功

1. まえがき；筆者は、別報¹⁾で境界表面が(a)自由な、半無限軸対称異方性体の解析解を提示した。同様の手法により、境界表面が(b)固定の場合に2つ2つの解析解も求めらるこができる。これら半無限領域問題の解は、無限体の特解(集中力問題の解)と1つの境界面を作るために設けた3つの特異点(境界面に対する鏡像点)を持つ解と組合せることにより導いたものである。本報告は、この手法を、板の上下面に適用し、特解ヒミツの鏡像点を持つ解の集合として、相対する2つの境界表面(自由または固定)を持つ問題を解析し考察したものである。その一部には、すびに別報²⁾に示した。

2. 半無限異方性体の解析解；図-1(a)の軸対称異方性体の応力-ひずみマトリックス及び基礎方程式は

$$\begin{aligned} \sigma_x &= A_{11} \epsilon - 2 A_{44} \epsilon_y - (A_{13} - A_{11}) \epsilon_z, \quad \tau_{xy} = A_{44} \gamma_{xy}, \\ \sigma_y &= A_{11} \epsilon - 2 A_{44} \epsilon_x - (A_{13} - A_{11}) \epsilon_z, \quad \tau_{yz} = A_{55} \gamma_{yz}, \\ \sigma_z &= A_{13} \epsilon - (A_{33} - A_{11}) \epsilon_x, \quad \tau_{xz} = A_{55} \gamma_{xz} \end{aligned} \quad \left. \begin{aligned} \left(\frac{\partial}{\partial z^2} + \frac{\partial^2}{\partial y^2} + \frac{\partial^2}{\partial z^2} \right) \xi_i &= 0, \\ \xi_i &= \epsilon + q_i \frac{\partial w}{\partial z} \quad (i=1,2) \end{aligned} \right\} \quad (i=1,2,3) \quad (2)$$

$$\xi_1 = \{ A_{55} + P_1 (A_{13} + A_{33}) \} / A_{11} \quad (i=1,2), \quad \xi_3 = A_{55} / A_{44}, \quad \xi_2 = (A_{55} + A_{13} - A_{11} + P_1 A_{55}) / A_{11} \quad (i=1,2)$$

$$P_1, P_2 = \frac{1}{2 A_{55} (A_{13} + A_{33})} \left\{ A_{11} A_{33} - A_{13}^2 \pm \sqrt{(A_{11} A_{33} - A_{13}^2)^2 - 4 (A_{11} A_{33} - A_{13}^2) (A_{13} - A_{55}) A_{55}} \right\} - 1$$

表(1) 基礎方程式(2)の解と積分定数

	Z軸方向の単一集中力 ($\xi_3 = 0$)		x軸方向の単一集中力		
式(2)の解	$\xi_1 = A_1 \frac{\partial}{\partial z} \left(\frac{1}{r_1} \right)$	$\xi_2 = A_2 \frac{\partial}{\partial z} \left(\frac{1}{r_2} \right)$	$\xi_1 = B_1 \frac{\partial}{\partial x} \left(\frac{1}{r_1} \right)$	$\xi_2 = B_2 \frac{\partial}{\partial x} \left(\frac{1}{r_2} \right)$	$\xi_3 = B_3 \frac{\partial}{\partial y} \left(\frac{1}{r_2} \right)$
無限体の解 $\xi_3 = \frac{\alpha}{z}$	$A_i^0 = \frac{P_i \sqrt{Y_1} (1+T_1)}{4\pi A_{33}}$	$B_i^0 = \frac{P_i \sqrt{Y_2} (1-T_2)}{4\pi A_{33}}$	$B_i^0 = \frac{T_i \sqrt{Y_2} (B_1 - T_2)}{4\pi \alpha Y_1 \beta Y_2}$	$B_i^0 = \frac{T_i \sqrt{Y_2} (B_1 - T_2)}{4\pi \alpha Y_1 + \beta Y_2}$	$B_i^0 = \frac{T_i \sqrt{Y_3}}{4\pi A_{55}}$
半無限体の解 $\xi_3 = \frac{\alpha}{z}$	$A_i^1 = \frac{\sqrt{Y_1} + \sqrt{Y_2} \times A_i^0}{\sqrt{Y_1} - \sqrt{Y_2}} \times A_i^0$	$B_i^1 = \frac{-\sqrt{Y_1} + \sqrt{Y_2} \times B_i^0}{\sqrt{Y_1} - \sqrt{Y_2}} \times B_i^0$	$B_i^1 = \frac{-\sqrt{Y_1} + \sqrt{Y_2} \times B_i^0}{\sqrt{Y_1} - \sqrt{Y_2}} \times B_i^0$	$B_i^1 = \frac{\sqrt{Y_1} + \sqrt{Y_2} \times B_i^0}{\sqrt{Y_1} - \sqrt{Y_2}} \times B_i^0$	$B_i^1 = B_3^0$
境界Z方向力零	$A_i^2 = 0$	$B_i^2 = -\frac{B_i^0}{\alpha Y_1} \times \frac{2}{\sqrt{Y_1} - \sqrt{Y_2}} \times A_i^0$	$B_i^2 = 0$	$B_i^2 = \frac{B_i^0}{\alpha} \times \frac{2\sqrt{Y_2}}{\sqrt{Y_1} - \sqrt{Y_2}} \times B_i^0$	$B_i^2 = 0$
境界Z方向力零	$A_i^3 = \frac{\alpha Y_1}{B_i^0} \times \frac{2}{\sqrt{Y_2} - \sqrt{Y_1}} \times A_i^0$	$B_i^3 = 0$	$B_i^3 = -\frac{\alpha}{B_i^0} \times \frac{2\sqrt{Y_1}}{\sqrt{Y_1} - \sqrt{Y_2}} \times B_i^0$	$B_i^3 = 0$	$B_i^3 = 0$
上蓋 $\xi_3 = \frac{\alpha}{z}$ $\xi_2 = \frac{\alpha}{z}$ $\xi_1 = \frac{\alpha}{z}$ $j=0$	$A_i^1 = \frac{\sqrt{Y_1} (1+\beta_1) + \sqrt{Y_2} (1+\beta_2) A_i^0}{\sqrt{Y_1} (1+\beta_1) - \sqrt{Y_2} (1+\beta_2)} A_i^0$	$B_i^1 = \frac{\sqrt{Y_1} (1+\beta_1) + \sqrt{Y_2} (1+\beta_2) B_i^0}{\sqrt{Y_1} (1+\beta_1) - \sqrt{Y_2} (1+\beta_2)} B_i^0$	$B_i^1 = \frac{\sqrt{Y_1} (1+\beta_1) + \sqrt{Y_2} (1+\beta_2) B_i^0}{\sqrt{Y_1} (1+\beta_1) - \sqrt{Y_2} (1+\beta_2)} B_i^0$	$-B_3^0$	
	$A_i^2 = 0$	$B_i^2 = -\frac{2\sqrt{Y_3} (1+\beta_2)}{\sqrt{Y_1} (1+\beta_1) - \sqrt{Y_2} (1+\beta_2)} A_i^0$	$B_i^2 = 0$	$\frac{2\sqrt{Y_3} (1+\beta_2)}{\sqrt{Y_1} (1+\beta_1) - \sqrt{Y_2} (1+\beta_2)} B_i^0$	0
零	$A_i^3 = \frac{2\sqrt{Y_1} (1+\beta_1)}{\sqrt{Y_1} (1+\beta_1) - \sqrt{Y_2} (1+\beta_2)} A_i^0$	$B_i^3 = 0$	$B_i^3 = -\frac{2\sqrt{Y_2} (1+\beta_1)}{\sqrt{Y_1} (1+\beta_1) - \sqrt{Y_2} (1+\beta_2)} B_i^0$	0	0
下盤 $\xi_3 = \frac{\alpha}{z}$ $\xi_2 = \frac{\alpha}{z}$ $\xi_1 = \frac{\alpha}{z}$ $j=0$	$A_i^1 = \frac{\sqrt{Y_1} (1+\beta_1) + \sqrt{Y_2} (1+\beta_2) A_i^0}{\sqrt{Y_1} (1+\beta_1) - \sqrt{Y_2} (1+\beta_2)} A_i^0$	$B_i^1 = \frac{\sqrt{Y_1} (1+\beta_1) + \sqrt{Y_2} (1+\beta_2) B_i^0}{\sqrt{Y_1} (1+\beta_1) - \sqrt{Y_2} (1+\beta_2)} B_i^0$	$B_i^1 = \frac{\sqrt{Y_1} (1+\beta_1) + \sqrt{Y_2} (1+\beta_2) B_i^0}{\sqrt{Y_1} (1+\beta_1) - \sqrt{Y_2} (1+\beta_2)} B_i^0$	$-B_3^0$	
	$A_i^2 = 0$	$B_i^2 = -\frac{2\sqrt{Y_3} (1+\beta_2)}{\sqrt{Y_1} (1+\beta_1) - \sqrt{Y_2} (1+\beta_2)} A_i^0$	$B_i^2 = 0$	$\frac{2\sqrt{Y_3} (1+\beta_2)}{\sqrt{Y_1} (1+\beta_1) - \sqrt{Y_2} (1+\beta_2)} B_i^0$	0
零	$A_i^3 = \frac{2\sqrt{Y_1} (1+\beta_1)}{\sqrt{Y_1} (1+\beta_1) - \sqrt{Y_2} (1+\beta_2)} A_i^0$	$B_i^3 = 0$	$B_i^3 = -\frac{2\sqrt{Y_2} (1+\beta_1)}{\sqrt{Y_1} (1+\beta_1) - \sqrt{Y_2} (1+\beta_2)} B_i^0$	0	0
付注	$\alpha = A_{33} - (1+\beta_1) A_{13}, \quad \beta = -A_{33} - (1-\beta_2) A_{13}$				
	$r_i^d = \left\{ x^2 + y^2 + \frac{(z-d)^2}{\xi_i} \right\}^{\frac{1}{2}}, \quad j=0, 1, 2, 3$ はそれぞれ特異点の指標				
	$(d^0 = d, \quad d^1 = -d, \quad d^2 = -\sqrt{\frac{Y_2}{Y_1}} d, \quad d^3 = -\sqrt{\frac{Y_2}{Y_1}} d)$				

- 1) 岡村、島田；内部に集中力を受ける半無限異方性体の解析解、第3回国木学会講演概要 I, S.51
2) 岡村、島田；異方性及び三次元解析、土木学会関西支部講演概要, S.52

各変位式は次のようになる。

$$\left. \begin{aligned} u &= \frac{1+\tau_2}{(\tau_1-\tau_2)\delta_1} \frac{\partial}{\partial x} \iint_{\Sigma_1} dz dz + \frac{1+\tau_1}{(\tau_2-\tau_1)\delta_2} \frac{\partial}{\partial x} \iint_{\Sigma_2} dz dz - \frac{1}{\delta_3} \frac{\partial}{\partial y} \iint_{\Sigma_3} dz dz \\ v &= \frac{1+\tau_2}{(\tau_1-\tau_2)\delta_1} \frac{\partial}{\partial y} \iint_{\Sigma_1} dz dz + \frac{1+\tau_1}{(\tau_2-\tau_1)\delta_2} \frac{\partial}{\partial y} \iint_{\Sigma_2} dz dz + \frac{1}{\delta_3} \frac{\partial}{\partial x} \iint_{\Sigma_3} dz dz \\ w &= \frac{1}{\tau_1-\tau_2} \iint_{\Sigma_1} dz + \frac{1}{\tau_2-\tau_1} \iint_{\Sigma_2} dz \end{aligned} \right\} \quad (3)$$

表-1は、集中力問題に対する式(2)の解をまとめたものである。

3. 解法：まず、荷重を含む半無限領域の解を特解

~~(図-1(b)まで)~~ とし、 F_1 面の境界を作成する。次に、この面の特異点に對する F_2 面の鏡像点を設け、 F_2 面の境界を作成し解を重ねる。この解により、 F_1 面の境界条件を満足され、再び、前出の特異点に對する F_2 面の鏡像点を設け、 F_1 面の境界条件を満足させよう。このように、1つの面の境界条件を満足させるために設けた特異点を持つ解によると他の面への乱れを打消す過程を図-1 (b), (c) に示すように板の上下面で交互に繰り返す。このような境界調整の手法により、特異点は板から次第に離れて行き、板内の応力を収束させることが可能となる。

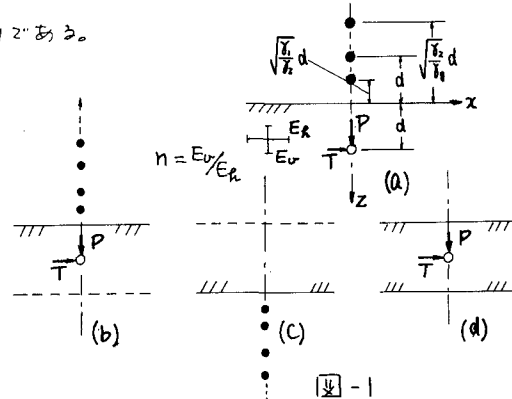


図-1

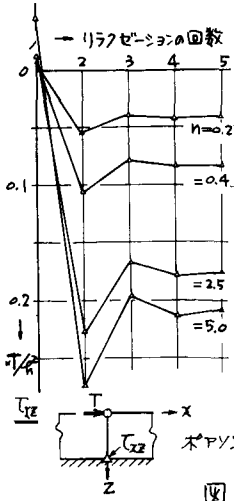


図-2

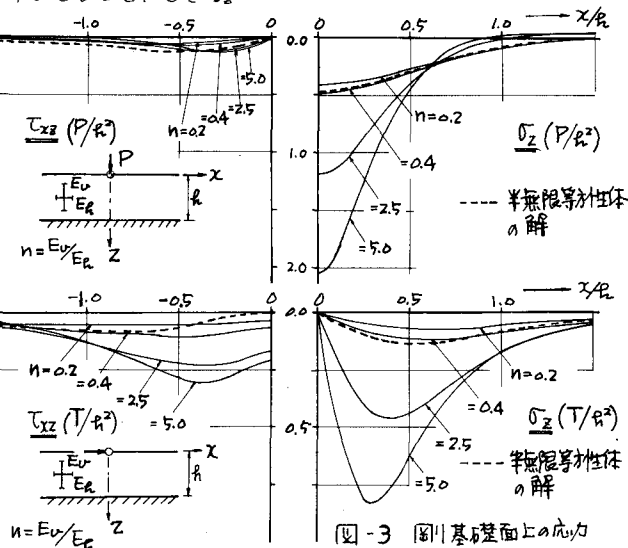
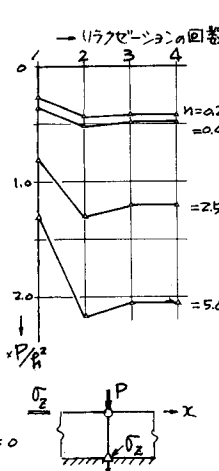


図-3 圧川基礎面上の応力

4. 計算例；まず、表面荷重を受けた剛基礎上の板の解析例を図-2, 3 に示した。図-2 はリラクゼーションの回数と応力の収束状態を、4種類の垂直-水平方向のヤング率比に対する結果を示したもので、4回程度の繰り返しがほぼ収束している。図-3 は、墨方位の変化による剛基礎面上の応力値を示し、半無限等方性体の場合(破線)と比較したものです。次に図-4 は、内部に1k平圧Tを受ける無限板の解析例で、水平方向のヤング率が大きくなると、板厚離れた断面②においても、応力は非線形な分布を呈する。

